

- P_{Gi0}, P_{Gik} : 상정사고 전후 발전기 유효전력 출력
 Q_{Gi0}, Q_{Gik} : 상정사고 전후 발전기 무효전력 출력
 P_{Di}, Q_{Di} : 상정사고 전후 유·무효전력 수요량
 V_{Gi0}, V_{Gik} : 상정사고 전후 발전기 모션 전압
 ε_{Gik} : 상정사고 전후 발전기 특성에 따른 발전기 모션별 전압차
 γ_{Gi} : 상정사고 전후 발전기 특성에 따른 발전기 모션별 유효전력 출력 변화량

목적함수는 발전기 연료비용을 최소화하는 것이고, 식(1)~(4)는 상정사고 전후의 유효전력 및 무효전력에 대한 전력조류방정식을 나타낸다. 이 제약은 상정사고 전후에 있어서 계통의 전력조류방정식을 만족할 수 있는 금전계획 수립에 목적이 있다. 그리고 식(5)는 첫 번째 가정을 수식화 한 것으로서, 상정사고가 발생했을 때 각 발전기별 기계적 특성에 따라 짧은 시간 내에 발전기 출력을 조정할 수 있는 범위에 따른 제약식이다. 식(6)은 두 번째 가정을 수식화 한 것으로, 상정사고 후 발전기 특성에 따라서 범동가능한 전압범위에 따른 제약식이다. 식(7), (8)은 상정사고 전후의 부등식 제약조건(발전기 유·무효전력 출력제약, 송전용량제약, 전압제약)으로서, 송전용량제약 및 전압제약을 다음과 같이 구체화 할 수 있다.

$$f_{i0} \leq f_i^{\max} \quad (9)$$

$$f_{ik} \leq f_i^{\max} \quad (10)$$

$$V_{\vartheta}^{\min} \leq V_{\vartheta} \leq V_{\vartheta}^{\max} \quad (11)$$

$$V_{ik}^{\min} \leq V_{ik} \leq V_{ik}^{\max} \quad (12)$$

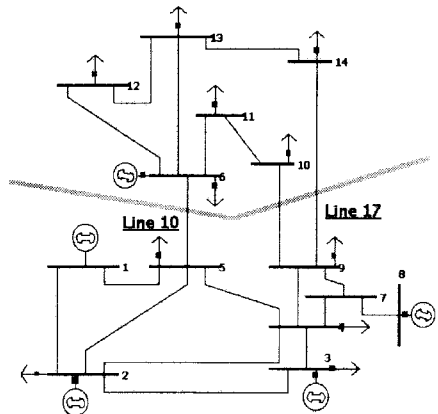
식(9), (10)은 상정사고 전후에 따른 선로용량 제약으로서, 상정사고 전후 모든 선로의 전력조류가 열용량 한계 내에 있도록 하는 제약식이다. 식(11), (12)는 상정사고 전후의 모션별 전압제약으로, 상정사고 전후 모든 모션의 전압이 전압허용한계 내에 있도록 하는 제약식이다.

본 연구에서는 전압제약에 있어 신뢰도 기준을 적용하여 상정사고 전후 모션전압이 전압허용한계(0.9~1.1pu) 내에 있도록 하였으나, 이는 계통운용 측면에서 과도한 운용기준이 될 수 있다. 따라서 향후, 전압안정도 측면에서 상정사고 후에도 안정할 수 있는 적정한 전압 한계값을 결정하는데에 관한 연구를 수행함으로서, 이를 식(12)에 적용하여 보다 경제적인 계통운용계획을 수립할 수 있다.

3. 사례연구

본 연구에서는 GAMS(CONOPT, MINOS5) 및 PowerWorld 프로그램을 이용하여 CCOPF를 구현 및 검증하였으며[7, 8], 사례연구는 다음의 (그림 3)과 같은 변형된 IEEE 14 RTS를 이용하여 수행하였다[3].

본 연구에서는 연계선로 10의 상정사고만을 대상으로 하였으며, 사례연구 계통의 선로, 발전기 및 부하 데이터는 각각 표 1, 2, 3과 같다. 선로 임피던스는 계통의 유효전력 손실이 없다는 가정 하에 $j0.001$ 로 동일하게 두었고, 상정사고 전후 모든 모션의 전압 하한값은 0.90pu, 상한값은 1.10pu로 가정하였다. 그리고 상정사고 전후의 발전기모션의 전압차, ε 는 0.001pu로 가정하였다.



(그림 1) The Modified IEEE 14 RTS

Line	From - To	Thermal Limit (MW)	Gen. No.	Cost	Coefficient
				a_i	b_i
1	1-2	250	G1	0.0	5.0
2	1-5	250	G2	0.0	7.0
3	2-3	150	G3	0.0	10.0
4	2-4	200	G6	0.0	0.3
5	2-5	200	G8	0.0	0.3
6	3-4	150			
7	4-5	150			
8	4-7	300			
9	4-9	200			
10	5-6	300			
11	6-11	250			
12	6-12	200			
13	6-13	200			
14	7-8	250			
15	7-9	150			
16	9-10	200			
17	9-14	150			
18	10-11	200			
19	12-13	150			
20	13-14	200			

표 1 Line Data

Bus No.	Load P(MW)	Q(MVR)
2	12.00	5.80
3	14.00	5.40
4	11.00	-1.80
5	18.00	6.80
6	16.00	9.40
9	36.00	12.40
10	20.00	16.60
11	45.00	18.80
12	68.00	25.80
13	85.00	35.60
14	106.00	75.30

표 3 Bus Load Data

이러한 사례연구 계통을 이용해서 Base Case의 OPF에 따른 결과와 상정사고를 고려한 CCOPF의 결과를 비교하였다.

다음 표 4는 OPF와 CCOPF의 상정사고 전후에 따른 주요 선로의 전력조류를 나타내고 있다. 일반적인 OPF의 경우, 선로 10이 탈락하였을 때 선로 17의 조류는 선로용량을 초과하여 흐르게 된다. 이는 계통운용에 있어서 대단히 위험하다. CCOPF의 결과를 살펴보면 선로 10의 탈락하더라도 선로 17의 선로용량을 초과하지 않는 범위 내에서 전력조류가 흐르게 된다.

	OPF		CCOPF	
	Line 10	Line 17	Line 10	Line 17
Base Case (MW)	189.13	99.06	127.59	85.29
Line 10 off (MW)		193.20		150.00

표 4 상정사고 전후 OPF와 CCOPF의 전력조류

다음 표 5는 OPF와 CCOPF의 상정사고 전후에 따른 주요 부하모선의 전압을 나타내고 있다. OPF를 수행한 결과에 따라 계통을 운영한다고 가정하고, 선로 10에 대해 모의 상정사고를 수행하였을 때, 특정 부하모선의 전압값이 전압범위에서 벗어남을 볼 수 있다. 이러한 현상을 막기 위해 선로 10의 상정사고를 고려한 CCOPF를 수행한 결과 선로 10의 상정사고 전후 모든 부하모선의 전압값이 전압범위 내에 있다.

Bus No.	OPF		CCOPF	
	Base (pu)	Line10 off (pu)	Base(pu)	Line10 off (pu)
4	0.90607	0.84628	0.94728	0.91849
5	0.93565	0.87218	0.97978	0.93196
7	0.90318	0.84298	0.92801	0.90284
9	0.90614	0.80637	0.93946	0.90083
10	0.94549	0.85903	0.97473	0.94374
14	0.90183	0.81064	0.93260	0.90000

표 5 상정사고 전후 OPF와 CCOPF의 부하모선 전압

4. 결 론

실질적인 전력계통 운용에 있어서 계통안전도를 고려하는 것은 계통의 경제적 운용과 더불어 필수적인 일이다. 본 연구에서는 상정사고를 고려한 최적조류계산(CCOPF)의 구현에 있어서, N-1 Contingency를 기준으로 하고 상정사고 전후에 선로의 열용량 한계 및 부하모선의 전압허용한계를 만족할 수 있는 CCOPF에 대한 알고리즘을 제안하고, 이를 검증하였다.

안전도 제약조건을 설정함에 있어 전압한계를 경제성을 고려하여 계통상황에 맞게 설정하는 것은 대단히 중요한 일이다. 향후, 경제성과 더불어 적절한 전압여유를 고려하여 적정 전압한계를 결정하는 알고리즘에 관한 연구가 필요하다 하겠다.

본 연구는 산업자원부의 지원에 의하여
기초전력공학공동연구소(02-전-01) 주관으로
수행된 과제임

[참 고 문 헌]

- [1] Young Kyun Shin, "An Implementatin of SCOPF Algorithm", 대한전기학회 추계학술대회 논문집, 2000
- [2] Junji Kubokawa, "A Solution of Optimal Power Flow with Voltage Stability Constraints", Power System Technology, 2000. Proceeding. PowerCon 2000, Vol.2, pp.625-630, 2000
- [3] R. Billinton, "A reliability test system for educational purposes-basic data", IEEE Transactions on Power System, Vol.4, No.3, 1989
- [4] Roy Billinton, "Voltage stability considerations in composite power system reliability evaluation", IEEE Transactions on Power System, Vol.13, No.2, 1998
- [5] Thierry Van Cutsem, "Voltage Stability of Electric Power Systems", Kluwer Academic Publishers, 1998
- [6] Carson W. Taylor, "Power System Voltage Stability", McGraw-Hill, Inc. 1994
- [7] Richard E. Rosenthal, "GAMS A User's Guide", GAMS Development Corporation, 1998
- [8] "PowerWorld Simulator 9.0 User's Guide", PowerWorld Corporation